

به کارگیری منطق فازی برای بهبود عملکرد شبکه های عصبی مصنوعی به منظور پیش بینی نرخ ارز

مهدی خاشعی^{*} (دانشجوی پسا دکتری)

مهدی بیجاری (دانشیار)

فریماه مخاطب رفیعی (دانشیار)

دانشکده هندسی صنایع و سیستم ها، دانشگاه صنعتی اصفهان

مهمنگی
دانشگاه و مدیریت
شریف، (پردیسان ۱۳۹۲) ۷۶-۳۰۱، خیابان
دروی ۱، ۰۴۹، تهریه

روش های هوش محاسباتی، همچون شبکه های عصبی مصنوعی و منطق فازی، به عنوان ابزاری محبوب به منظور پیش بینی بازارهای پیچیده مالی معرفی شده اند. دقت پیش بینی ها از جمله مهم ترین مشخصه های مدل های پیش بینی است و تلاش برای بهبود بخشیدن کارایی مدل های سری های زمانی هرگز متوقف نشده است. امروزه علی رغم روش های مقادیر پیش بینی سری های زمانی که در چند دهه اخیر پیشنهاد شده اند، هنوز پیش بینی نرخ های ارز، کار بسیار دشواری محسوب می شود. در این مطالعه، مدل ترکیبی جدیدی از شبکه های عصبی مصنوعی براساس مقایسه پایه بی منطق و مجموعه های فازی، به منظور حصول نتایج دقیق تر در موقعیت هایی با دوره های کوتاه تری از زمان ارائه شده است. نتایج حاصله در پیش بینی نرخ ارز بیانگر کارآیی روش مذکور در پیش بینی نرخ ارز نسبت به مدل های تشکیل دهنده خود است.

khashei@in.iut.ac.ir
bijari@cc.iut.ac.ir
farimah@cc.iut.ac.ir

واژگان کلیدی: شبکه های عصبی مصنوعی، رگرسیون فازی، مدل های ترکیبی، پیش بینی سری های زمانی، نرخ ارز.

۱. مقدمه

دارند که از مهم ترین آنها می توان نیاز به داده های زیاد برای کسب نتایج دقیق اشاره کرد.^[۱]

هرچند قانون تعریف شده بی برای تعداد داده های مورد نیاز شبکه، در مسائل مختلف تعیین نشده اما، در حالت کلی تعداد داده های مورد نیاز شبکه بستگی دارد به ساختار شبکه، الگوریتم آموزش، پیچیدگی مسئله مورد نظر و اختلالات موجود در داده ها. با آزمایش تأثیرات اندازه های متفاوت داده های مورد نیاز شبکه مشخص شد که افزایش تعداد داده ها، عملکرد شبکه های عصبی مصنوعی را در مسائل پیش بینی بهینه می کند و نیز در حالت کلی به دست آوردن سطح معینی از دقت، احتیاج به داده های آموزش با مقدار معین دارد.^[۲] با تعداد داده های کافی، شبکه های عصبی می توانند ساختارهای پیچیده هی موجود در داده ها را مدل کنند. بنابراین برای نمونه های بزرگ، شبکه های عصبی سودمندتر از سایر مدل های آماری خواهد بود. البته باید به این نکته نیز توجه داشت که شبکه های عصبی مصنوعی به منظور رسیدن به عملکرد مناسب، در مقایسه با مدل های خطی نیازمند تعداد داده های بیشتر نیستند. مطالعات به عمل آمده نشان داد که شبکه های عصبی مصنوعی پیش بینی های کاملاً خوبی با داده های کم تراز ۵۰ خواهند داشت، در حالی که مدل های باکس - جکینز برای پیش بینی های موفق دست کم به ۵۰ داده نیاز دارند.^[۳]

روش های پیش بینی فازی -- همچون رگرسیون فازی -- به دلیل استفاده از اعداد فازی به جای اعداد قطعی، نسبت به سایر مدل های پیش بینی احتیاج به داده های کم تری دارند، اما عملکرد این گونه روش ها عموماً چندان رضایت بخش

به کارگیری روش های کمی به منظور پیش بینی بازارهای مالی، بهبود تصمیم گیری ها و سرمایه گذاری به ضرورتی انکار نپذیر در دنیای امروز تبدیل شده است. پیش بینی سری های زمانی یکی از مهم ترین زمینه های پیش بینی است که در آن، مشاهدات گذشته ای یک متغیر جمع آوری و به منظور به دست آوردن روابط اساسی بین مشاهدات و تعیین یک مدل توصیفی، مورد تجزیه و تحلیل قرار می گیرد؛ سپس مدل حاصله به منظور برونو یابی سری های زمانی در آینده به کار گرفته می شود. این روش مدل سازی به ویژه زمانی مفید است که در مرور فرایند اساسی تولید داده ها داشش کمی در دسترس باشد، یا هیچ مدل توضیحی رضایت بخشی که متغیر وابسته را به سایر متغیرهای توضیحی مرتبط سازد وجود نداشته باشد.^[۴]

شبکه های عصبی مصنوعی از مهم ترین روش های غیرخطی پیش بینی سری های هستند که در صورت فراهم بودن شرایط مطلوب، نتایج مطلوبی نیز ایجاد خواهند کرد. مزیت اصلی این روش قابلیت مدل سازی غیرخطی انعطاف پذیر است. در این گونه شبکه ها دیگر نیازی به تشخیص شکل خاص مدل نیست و مدل براساس اطلاعات موجود در داده ها شکل می گیرد. این رویکرد مبتنی بر داده برای بسیاری از مجموعه داده های تجربی، به ویژه زمانی که هیچ اطلاعات نظری برای پیشنهاد فرایند تولید داده های مناسب در دسترس نباشد، بسیار کارآمد است. با وجود تمامی مزیت هایی که برای شبکه های عصبی مصنوعی در نظر گرفته می شود، این شبکه ها معمایی نیز

* نویسنده مسئول
تاریخ: دریافت ۱۴/۱/۱۳۹۰، اصلاحیه ۱۷/۵/۱۳۹۰، پذیرش ۲۹/۱/۱۳۹۱.

در این مقاله به منظور پیش‌بینی‌های بهتر، کسب نتایج دقیق‌تر و همچنین نیاز به داده‌های کم‌تر در شبکه‌های عصبی مصنوعی، از مفاهیم پایه‌ایی منطق فازی به منظور پیشنهاد روشی ترکیبی استفاده شده است. در روش پیشنهادی پارامترهای شبکه‌های عصبی به جای اعداد قطعی به صورت اعداد فازی در نظر گرفته می‌شوند. با اضافه کردن اینها به ساختار شبکه‌های عصبی در قالب اعداد فازی، واستفاده از مزایای منحصر به فرد محاسبات نرم مجموعه‌های فازی، تعداد داده‌های مورد نیاز شبکه برای آموزش و جست‌وجوی فضاهای محتمل درمورد مقادیر بهینه‌ی پارامترها کاوش می‌باشد. بدین ترتیب شبکه‌ی عصبی پارامترهای خود را، در شرایطی که داده‌های قابل حصول برای شبکه کم‌تر از مقدار معمول آن است، به صورتی کارآتر تنظیم می‌کند.

به منظور نشان‌دادن کارایی مدل پیشنهادی در پیش‌بینی سری‌های زمانی در بازارهای مالی و در شرایطی که داده‌های قابل حصول اندک هستند، مدل پیشنهادی در پیش‌بینی نزخ ارز (دلار آمریکا در مقابل ریال ایران) به کار گرفته شده و نتایج آن با سایر مدل‌ها مقایسه شده است. سایر قسمت‌های این مطالعه چنین مرتب شده است: در بخش دوم شبکه‌های عصبی مصنوعی در مدل‌سازی و پیش‌بینی سری‌های زمانی شرح داده شده‌اند. مدل رگرسیون فازی در بخش سوم توضیح داده شده است و در بخش چهارم مدل ترکیبی شبکه‌های عصبی مصنوعی با رگرسیون فازی تشریح شده است. استفاده از مدل ترکیبی در پیش‌بینی نزخ ارز (دلار آمریکا در مقابل ریال ایران) و مقایسه‌ی عملکرد آن با مدل شبکه‌های عصبی مصنوعی و سایر مدل‌ها در بخش پنجم آورده شده است. در پایان، نتایج حاصله مورد تجزیه و تحلیل قرار گرفته و نتیجه‌گیری نهایی ارائه شده است.

۲. شبکه‌ی عصبی مصنوعی

شبکه‌ی عصبی مصنوعی از جمله روش‌های قادر به تخمین موارد غیرخطی متعدد در داده‌هاست و یک چارچوب محاسبه‌ی انعطاف‌پذیر برای دامنه‌ی وسیعی از مسائل غیرخطی به شمار می‌رود. یکی از مزیت‌های بارز این‌گونه مدل‌ها، نسبت به مدل‌های غیرخطی دیگر، این است که شبکه‌ی عصبی مصنوعی یک تقریب‌زننده‌ی جهانی هستند و می‌توانند هر نوع تابعی را با دقت دلخواه تقریب بزنند.^[۱] نقطه‌ی قوت شبکه‌های عصبی پردازش موازی اطلاعات داده‌هاست؛ این‌گونه شبکه‌ها به هیچ‌گونه پیش‌فرضی درمورد شکل مدل در فرایند مدل‌سازی نیاز ندارند و به طورکلی یک مدل مبتنی بر داده‌اند. شبکه‌های عصبی پیشرو با یک لایه‌ی مخفی از پرکاربردترین مدل‌های شبکه‌های عصبی به منظور پیش‌بینی سری‌های زمانی هستند.^[۲] این‌گونه مدل‌ها از سه لایه پردازش ساده‌ی اطلاعات متصل به هم تشکیل شده‌اند. رابطه‌ی بین خروجی (y_t) و ورودی‌ها (y_{t-p}, \dots, y_{t-1}) در این‌گونه شبکه‌ها چنین است:

$$y_t = f(b_0 + \sum_{j=1}^q w_j \cdot g(b_{0,j} + \sum_{i=1}^p w_{i,j} \cdot y_{t-i})) + \varepsilon_t \quad (1)$$

به طوری که $w_{i,j}$ پارامترهای مدل هستند که غالباً وزن‌های اتصالی نامیده می‌شوند؛ p تعداد گره‌های ورودی و q تعداد گره‌های مخفی‌اند. g و f نیز به ترتیب توابع فعال‌سازی لایه‌ی میانی و لایه‌ی خروجی‌اند. توابع سیگموئیدی (رابطه‌ی (2)) و خطی از جمله توابعی هستند که اغلب به عنوان توابع فعال‌سازی برای لایه‌های مخفی و خروجی مورد استفاده قرار می‌گیرند.

$$Sig(x) = \frac{1}{1 + \exp(-x)} \quad (2)$$

نیست. به منظور جلوگیری از خطای مدل‌سازی، رگرسیون فازی که اساساً یک مدل پیش‌بینی فاصله‌ی است پیشنهاد شده است.^[۳] اما این مدل نیز معایبی دارد که از مهم‌ترین آنها می‌توان به وسیع شدن پیش از حد بازه‌ی پیش‌بینی، به علت وجود برخی از مقادیر پرت، اشاره کرد. سری‌های زمانی فازی براساس معادلات فازی و منطق تقریبی مدل‌سازی و مطرح شدند.^[۴] همچنین یک روش سری زمانی براساس سری‌های زمانی و مفاهیم سانگ پیشنهاد شده است.^[۵]

استفاده از مدل‌های ترکیبی یا ترکیب مدل‌های مختلف روشی معمول برای بهبود دقت پیش‌بینی‌هاست. ادبیات موضوع مربوط به مدل‌های ترکیبی بسیار گسترده بوده و از زمان اولین تحقیقات انجام شده در این زمینه، تاکنون مطالعات فراوانی صورت گرفته است.^[۶-۹] این‌هدی اصلی ترکیب چندین مدل در پیش‌بینی، استفاده از هر یک از مدل‌های تکی برای مدل‌سازی الگوهای متفاوت موجود در داده‌هاست. یافته‌های تجربی و نظری نشان می‌دهند که ترکیب مدل‌های متفاوت شیوه‌ی مؤثر و کارآمد برای بهبود دقت پیش‌بینی‌هاست.^[۱۰-۱۲] در تحقیقات مربوط به پیش‌بینی با شبکه‌های عصبی مصنوعی مدل‌های ترکیبی متعددی ارائه شده است.^[۱۳]

به منظور پیش‌بینی سری‌های زمانی، روشی برای ترکیب شبکه‌های عصبی مصنوعی و روش میانگین متحرک خودرگرسیون ایناشه است.^[۱۴] به منظور رفع محدودیت‌های موجود در روش‌های ترکیبی خطی و غیر خطی سنتی نیز، یک روش ترکیبی با استفاده از شبکه‌های عصبی چندلایه‌ی پیشخور و مدل‌های باکس-چنگیز ارائه شده است.^[۱۵] در مطالعه‌ی دیگر، رویکردی مرکب از ماشین‌های بردار پشتیبان و مدل‌های خودرگرسیون، میانگین متحرک ایناشه را به منظور پیش‌بینی مورد استفاده قرار داده است.^[۱۶] برخی از محققین نیز یک روش ترکیبی با استفاده از مدل‌سری‌های زمانی فصلی با شبکه‌های عصبی مصنوعی پیشنهاد کردند.^[۱۷] در پژوهش‌های دیگر نیز ترکیب چند شبکه‌ی عصبی پیش‌رو به منظور بهبود دقت پیش‌بینی سری‌های زمانی پیشنهاد شده است.^[۱۸]

به منظور پیش‌بینی سری‌های زمانی فصلی، یک مدل ترکیبی، مرکب از مدل‌های فصلی خودرگرسیون میانگین متحرک ایناشه و ماشین‌های برداری پشتیبان ساخته شد.^[۲۰] با بهکارگیری شیوه‌ی الگوریتم ژنتیک نیز روشی ترکیبی از شبکه‌های عصبی مصنوعی ارائه و در بازارهای بورس اوراق بهادر به کار گرفته شد.^[۲۱] در تحقیقی مشابه، یک مدل ترکیبی با استفاده از شبکه‌های عصبی مصنوعی والگوریتم ژنتیک به منظور پیش‌بینی الگوهای موقتی در بازارهای بورس اوراق بهادر ارائه شد.^[۲۲] به منظور پیش‌بینی بازارهای مالی، مدلی مرکب از شبکه‌های عصبی مصنوعی با استفاده از مدل‌های خودرگرسیون خطی تعیین یافته ارائه شد.^[۲۳] با ترکیب شبکه‌های عصبی احتمالی و مدل‌های بهبود یافته‌ی شبکه‌های چندلایه‌ی پیشخور، مدل ترکیبی جدیدی به منظور پیش‌بینی سری‌های زمانی ارائه شد و در بازار ارز مورد استفاده قرار گرفت.^[۲۴] یک مدل ترکیبی جدید از شبکه‌های پرسپترون چندلایه با استفاده از نگاشتهای خودسازمان‌ده کوهن ارائه شد و در پیش‌بینی قیمت الکتروسیته مورد استفاده قرار گرفت.^[۲۵] به منظور پیش‌بینی سری‌های زمانی، از مدلی مرکب از شبکه‌های عصبی برگزنشده‌ی المان با مدل‌های خودرگرسیون میانگین متحرک ایناشه استفاده شد.^[۲۶]

به منظور پیش‌بینی قیمت الکتروسیته نیز، مدلی مرکب از شبکه‌های عصبی شعاعی محور و مدل‌های خودرگرسیون میانگین متحرک ایناشه و به کار گرفته شد.^[۲۷] به منظور پیش‌بینی قیمت محصولات نیز یک مدل ترکیبی ارائه شد که در آن شبکه‌های عصبی خودسازمان‌ده با الگوریتم ژنتیک و مدل‌های فازی با یکدیگر ترکیب شده‌اند.^[۲۸] محققین به منظور ارائه‌ی یک مدل ترکیبی پیش‌بینی سیستم‌های فازی را با رگرسیون غیرخطی ترکیب کرده و در پیش‌بینی سری‌های زمانی به کار گرفته‌اند.^[۲۹]

توزیع در ارتباط با مشاهدات حقیقی به کارگرفته می‌شوند. یک مدل رگرسیون خطی فازی در حالت کلی عبارت است از:

$$\tilde{Y} = \tilde{\beta}_0 + \tilde{\beta}_1 x_1 + \dots + \tilde{\beta}_n x_n = \sum_{i=1}^n \tilde{\beta}_i x_i = X' \tilde{\beta} \quad (4)$$

به طوری که X بردار متغیرهای مستقل، علامت پریم ($'$) عملگر تراهنده، n تعداد متغیرها و $\tilde{\beta}_i$ مجموعه‌های فازی بیانگر نامنی پارامتر مدل هستند. این اعداد فازی (پارامترهای $\tilde{\beta}_i$) به شکل اعداد فازی نوع ال «دایوس و پرس» $[\alpha_i, c_i]_L^{[25]}$ با توزیع احتمال زیر هستند:

$$\mu_{\tilde{\beta}_i}(\beta_i) = L \{ (\alpha_i - \beta_i/c) \} \quad (5)$$

که در آن L یک تابع است. پارامترهای فازی نیز به شکل اعداد فازی مثلثی متقارن به کارگرفته شده‌اند:

$$\mu_{\tilde{\beta}_i}(\beta_i) = \begin{cases} 1 - \frac{|\alpha_i - \beta_i|}{c_i} & \alpha_i - c_i \leq \beta_i \leq \alpha_i + c_i, \\ 0 & \text{otherwise,} \end{cases} \quad (6)$$

به طوری که $\mu_{\tilde{\beta}_i}(\beta_i)$ تابع عضویت مجموعه‌ی فازی بیانگر پارامترهای β_i است. α_i نیز مرکز عدد فازی و c_i گسترش حول مرکز است. حال با توجه به اصل گسترش، تابع عضویت عدد فازی $\tilde{y}_i = X'_i \tilde{\beta}$ را می‌توان چنین تعریف کرد:

$$\mu_{\tilde{y}_i}(y_t) = \begin{cases} 1 - \frac{|y_t - x_t \alpha|}{c'_i |x_t|} & \text{for } x_t \neq 0, \\ 1 & \text{for } x_t = 0, y_t = 0, \\ 0 & \text{for } x_t = 0, y_t \neq 0, \end{cases} \quad (7)$$

به طوری که α و c به ترتیب بردار مقادیر مربوط به پارامترها و گسترش‌های آنها حول مرکز هستند. به طور کلی مدل از کمینه‌سازی کل ابهامات (برابر با مجموع گسترش‌های تکی و مربوط به هر یک از پارامترهای فازی مدل) استفاده می‌کند.

$$\text{Minimize } S = \sum_{t=1}^k c' |x_t| \quad (8)$$

این روش به طور همزمان شرایطی را در نظر می‌گیرد که مقدار عضویت به ازای هر مشاهده‌ی y_t بزرگ‌تر از حد آستانه‌ی تعیین شده در سطح h است ($[0, 1]$). این معیار بیانگر این حقیقت است که خروجی فازی مدل باید برای تمامی نقاط داده‌ی y_1, y_2, \dots, y_k بیشتر از مقدار انتخابی سطح h باشد. انتخاب مقدار سطح h بر گسترش‌های پارامترهای فازی مدل مؤثر است.

$$\mu_{\tilde{y}_i}(y_t) \geq h \quad \text{for } t = 1, 2, \dots, k \quad (9)$$

شاخص t به تعداد داده‌های غیرفازی به کارگرفته شده در ساخت مدل بر می‌گردد. مسئله‌ی یافتن پارامترهای رگرسیون فازی توسط تاناکا به صورت یک برنامه‌ریزی خطی فرموله شده است.^[5]

$$\begin{aligned} \text{Minimize } & S = \sum_{t=1}^k c' |x_t| \\ & x'_t \alpha + (1-h) c' |x_t| \geq y_t \quad t = 1, 2, \dots, k \\ \text{subject.to } & x'_t \alpha - (1-h) c' |x_t| \leq y_t \quad t = 1, 2, \dots, k \\ & c \geq 0 \end{aligned} \quad (10)$$

از این رو مدل شبکه‌های عصبی مصنوعی (رابطه‌ی ۱) در حقیقت به عنوان یک نگاشت غیرخطی از مشاهدات گذشته به مقدار آینده خواهد بود:

$$y_t = f(y_{t-1}, \dots, y_{t-p}, w) + \varepsilon_t \quad (3)$$

به طوری که w بردار همه‌ی پارامترها و f تابعی است که توسط ساختار شبکه‌ی عصبی و وزن‌های اتصالی تعیین می‌شود. لذا شبکه‌ی عصبی معادل یک مدل خودرگرسیون غیرخطی است. رابطه‌ی ۳ همچنین بیان می‌دارد که یک نمونه (خروجی) در لایه‌ی خروجی برای پیش‌بینی یک مرحله‌ی مورد استفاده قرار می‌گیرد.

مدل ساده‌ی بیان‌شده در رابطه‌ی ۳ دارای قدرت تقریب بسیار زیادی است،

چرا که اگر تعداد گره‌های مخفی (q) به اندازه‌ی کافی بزرگ باشند، قادر است هر تابع دلخواه را تقریب بزند. ساختار شبکه‌ی عصبی ساده، که تعداد نمونه کم‌تری در لایه‌ی مخفی دارد، در پیش‌بینی‌های خارج از نمونه غالباً بهتر عمل می‌کند که علت آن دوری جستن از مسئله‌ی برازش بیش از حد است که عمدتاً در فرایند مدل‌سازی شبکه‌ی عصبی رخ می‌دهد.^[12]

یک مدل بیش از حد برازش شده، برای داده‌هایی که برای ساخت مدل (داده‌های آموزش) استفاده شده‌اند، برازش خوبی نشان می‌دهد اما توانایی تعمیم آن، برای داده‌های خارج از نمونه بسیار ضعیف است.^[23] انتخاب تعداد نمونه‌ای در لایه‌ی مخفی وابسته به داده‌های سیستماتیکی به منظور تعیین این پارامتر در طراحی شبکه‌ی عصبی وجود ندارد. علاوه بر این، مرحله‌ی مهمنگر مدل‌سازی شبکه‌ی عصبی، انتخاب تعداد وقهه‌های موجود در مشاهدات به عنوان بردار ورودی شبکه است که شاید مهم ترین پارامتر در طراحی مدل‌های شبکه‌ی عصبی مصنوعی باشد، چرا که این پارامتر در تعیین ساختار خودهمبسته‌ی غیرخطی سری‌های زمانی نقش اساسی دارد.

برای انتخاب p هیچ نظریه‌ی خاصی وجود ندارد؛ از این رو تجربه و آزمایشات، مشخص کننده‌ی مقدار مناسب p و خواهد بود. وقتی ساختار شبکه‌ی p و q مشخص شد شبکه‌ی آماده‌ی آموزش و تخمین پارامترهای ساختار شبکه‌ی عصبی میانگین متحرک خودرگرسیون انباسته‌ی پارامترها طوری تخمین زده می‌شود که معیار دقت مانند میانگین مربعات خطای کمینه شود. فرایند آموزش مذکور توسط الگوریتم‌های بهینه‌سازی غیرخطی همچون پس انتشار خطای انجام می‌گیرد. مدل برآورده شده معمولاً توسعه نمونه‌ی جداگانه‌یی که در فرایند آموزش مورد استفاده قرار نگرفته است (داده‌های آزمون) مورد ارزیابی قرار می‌گیرد و این با فرایند مدل‌سازی مدل‌های میانگین متحرک خودرگرسیون انباسته که از یک نمونه به منظور شناسایی، تخمین و ارزیابی مدل استفاده می‌کند متفاوت است. دلیل این موضوع یزد آن است که شکل کلی مدل (خطی) برای مدل‌سازی میانگین متحرک خودرگرسیون انباسته از قبل مشخص است.^[24] در صورتی که در مدل‌سازی شبکه‌ی عصبی چنین نیست و در مدل‌سازی با شبکه‌های عصبی مصنوعی مدل غیرخطی همانند مربه‌ی مدل باید تخمین زده شود و ممکن است شبکه دچار برازش بیش از حد شود.

۳. مدل رگرسیون فازی

مدل‌های کلاسیک از مفهوم عبارت خطأ استفاده می‌کنند؛ به عبارت دیگر تخمین‌های این‌گونه از مدل‌ها مقادیر دقیقی است و شامل جمله‌ی خطأ نمی‌شود و این همان مفهوم پایه‌ی رگرسیون فازی است.^[1] مفهوم اساسی نظریه‌ی فازی و رگرسیون فازی این است که جمله‌ی خطأ از باقی مانده‌های بین مقادیر تخمین زده شده و مقادیر اصلی یا مشاهدات تولید نمی‌شود، بلکه در عدم قطعیت پارامترهای مدل و امکان

آورده شده است. حال با در نظر گرفتن سطح آستانه‌ی h برای میزان توابع عضویت تمامی مشاهدات مطابق رابطه‌ی ۹، مدل برنامه‌ریزی غیرخطی مطابق رابطه‌ی ۱۷ به دست می‌آید.

$$\mu_{\tilde{w}_{i,j}}(w_{i,j}) = \begin{cases} \frac{1}{b_{i,j} - a_{i,j}} (w_{i,j} - a_{i,j}) & \text{if } a_{i,j} \leq w_{i,j} \leq b_{i,j}, \\ \frac{1}{b_{i,j} - c_{i,j}} (w_{i,j} - c_{i,j}) & \text{if } b_{i,j} \leq w_{i,j} \leq c_{i,j}, \\ 0 & \text{otherwise,} \end{cases} \quad (13)$$

$$\mu_{\tilde{X}_{t,j}}(x_{t,j}) = \begin{cases} \left(x_{t,j} - g\left(\sum_{i=1}^p a_{i,j} \cdot y_{t-i}\right) \right) & \text{if } g\left(\sum_{i=1}^p b_{i,j} \cdot y_{t-i}\right) - g\left(\sum_{i=1}^p a_{i,j} \cdot y_{t-i}\right) \leq x_{t,j} \leq g\left(\sum_{i=1}^p b_{i,j} \cdot y_{t-i}\right), \\ \left(x_{t,j} - g\left(\sum_{i=1}^p c_{i,j} \cdot y_{t-i}\right) \right) & \text{if } g\left(\sum_{i=1}^p b_{i,j} \cdot y_{t-i}\right) \leq x_{t,j} \leq g\left(\sum_{i=1}^p c_{i,j} \cdot y_{t-i}\right), \\ \left(x_{t,j} - g\left(\sum_{i=1}^p b_{i,j} \cdot y_{t-i}\right) \right) & \text{if } g\left(\sum_{i=1}^p b_{i,j} \cdot y_{t-i}\right) \leq x_{t,j} \leq g\left(\sum_{i=1}^p c_{i,j} \cdot y_{t-i}\right), \\ 0 & \text{otherwise} \end{cases} \quad (14)$$

$$\mu_{\tilde{w}_j}(w_j) = \begin{cases} \frac{1}{e_j - d_j} (w_j - d_j) & \text{if } d_j \leq w_j \leq e_j, \\ \frac{1}{e_j - f_j} (w_j - f_j) & \text{if } e_j \leq w_j \leq f_j, \\ 0 & \text{otherwise,} \end{cases} \quad (15)$$

$$\mu_{\tilde{Y}}(y_t) \simeq \begin{cases} \frac{-B_1}{rA_1} + \left[\left(\frac{B_1}{rA_1} \right)^r - \frac{C_1 - f^{-1}(y_t)}{A_1} \right]^{1/r} & \text{if } C_1 \leq f^{-1}(y_t) \leq C_r, \\ \frac{B_r}{rA_r} + \left[\left(\frac{B_r}{rA_r} \right)^r - \frac{C_r - f^{-1}(y_t)}{A_r} \right]^{1/r} & \text{if } C_r \leq f^{-1}(y_t) \leq C_1, \\ 0 & \text{otherwise,} \end{cases} \quad (16)$$

به قسمی که:

$$\begin{aligned} A_1 &= \sum_{j=1}^q (e_j - d_j) \cdot \left(g\left(\sum_{i=1}^p b_{i,j} \cdot y_{t-i}\right) - g\left(\sum_{i=1}^p a_{i,j} \cdot y_{t-i}\right) \right), \\ B_1 &= \sum_{j=1}^q (d_j \cdot \left(g\left(\sum_{i=1}^p b_{i,j} \cdot y_{t-i}\right) - g\left(\sum_{i=1}^p a_{i,j} \cdot y_{t-i}\right) \right) \\ &\quad + g\left(\sum_{i=1}^p a_{i,j} \cdot y_{t-i}\right) \cdot (e_j - d_j)), \\ A_r &= \sum_{j=1}^q (f_j - e_j) \cdot \left(g\left(\sum_{i=1}^p c_{i,j} \cdot y_{t-i}\right) - g\left(\sum_{i=1}^p b_{i,j} \cdot y_{t-i}\right) \right), \\ B_r &= \sum_{j=1}^q (f_j \cdot \left(g\left(\sum_{i=1}^p c_{i,j} \cdot y_{t-i}\right) - g\left(\sum_{i=1}^p b_{i,j} \cdot y_{t-i}\right) \right) \\ &\quad + g\left(\sum_{i=1}^p b_{i,j} \cdot y_{t-i}\right) \cdot (f_j - e_j)), \end{aligned}$$

به طوری که $(\alpha_1, \alpha_2, \dots, \alpha_n) = (\alpha'_1, \alpha'_2, \dots, \alpha'_n)$ و $c' = \text{بردار متغیرهای مجهول، و } S \text{ کل ابعامی است که قبلاً تعریف شده است.}$

۴. فرموله کردن مدل ترکیبی

شبکه‌های عصبی مصنوعی مدل‌های پیش‌بینی دقیقی برای دامنه‌ی وسیعی از مسائل هستند، اما دارای محدودیت تعداد زیاد داده‌های گذشته به منظور کسب تایخ دقیق‌اند.^[۲۶] این در حالی است که امروزه به عملت عدم قطعیت محیط و توسعه‌ی سریع فناوری‌های نوین، معمولاً باید موقعیت‌های آتی را با استفاده از داده‌های کم و در بازه‌های زمانی کوتاه‌مدت پیش‌بینی کرد. بنابراین در دنیای امروز پیش‌بینی روش‌هایی مورد نیاز است که داده‌های کم‌تری لازم داشته باشد و در چنین شرایطی کارایی لازم را باشند. مدل رگرسیون فازی یک مدل پیش‌بینی بازه‌بی مناسب در شرایط داده‌های قبل حصول کم است، اما همیشه عملکرد مناسبي ندارند. اساساً هدف اصلی این مقاله، بررسی صحت این فرضیه است که آیا فازی‌سازی شبکه‌های عصبی مصنوعی باعث افزایش دقت آنها و دست‌یابی به نتایج دقیق تر خواهد شد یا نه؟ اگرچه به لحاظ نظری، به کارگیری منطق فازی غالباً ابزاری مناسب برای رفع محدودیت تعداد داده‌های مورد نیاز شبکه‌های عصبی، و دست‌یابی به نتایج دقیق تر در این‌گونه از شرایط داده‌بی می‌شود، این موضوع در حالت کلی اثبات نشده است. لذا در این مطالعه به منظور نشان دادن درستی این موضوع در کاربرد خاص مطرحه، از نتایج تجربی حاصله استفاده شده است.

پارامترهای شبکه‌های عصبی (وزن‌ها و بایاس‌ها) مقادیری قطعی اند ($a_{i,j}, b_{i,j}, w_{i,j}$ ، در صورتی که در روش جدید به جای به کارگیری این مقادیر قطعی، پارامترهای شبکه به صورت اعداد فازی در نظر گرفته شده‌اند ($\tilde{a}_{i,j}, \tilde{b}_{i,j}, \tilde{w}_{i,j}$). علاوه بر این، متداول‌تری ارائه شده در این نوشتار برای شرایطی که دامنه‌ی پیش‌بینی وسیع می‌شود،^[۲۷] به کار گرفته شده است. در حالت کلی، یک مدل ترکیبی با

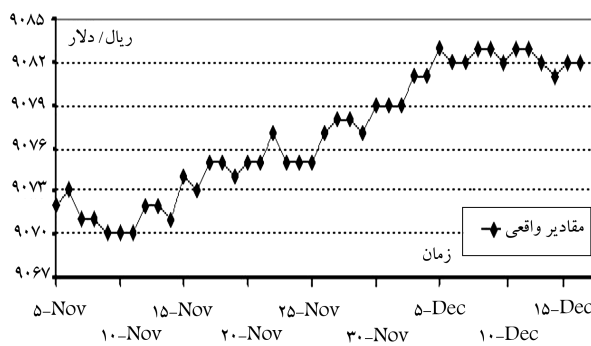
پارامترهای فازی به صورت زیر است:^[۲۸]

$$\tilde{y}_t = f(\tilde{b}_0 + \sum_{j=1}^q \tilde{w}_j \cdot g(\tilde{b}_{i,j} + \sum_{i=1}^p \tilde{w}_{i,j} \cdot y_{t-i})) \quad (11)$$

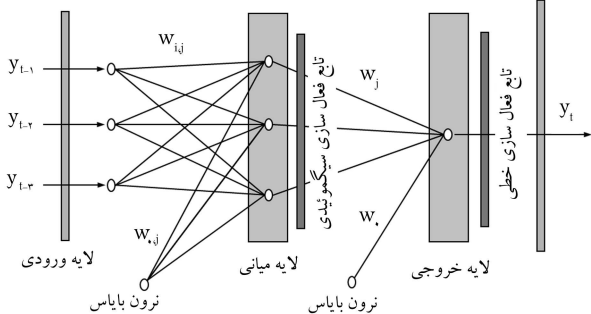
به قسمی که y_t مشاهدات، $(\tilde{w}_j, \tilde{w}_{i,j}, \tilde{b}_0, \tilde{b}_{i,j})$ اعداد فازی، و f و g به ترتیب توابع فعال‌سازی لایه‌ی میانی و لایه‌ی خروجی‌اند. با یک جایگذاری، معادله‌ی ۱۱ تبدیل می‌شود به:

$$\tilde{y}_t = f(\tilde{b}_0 + \sum_{j=1}^q \tilde{w}_j \cdot \tilde{X}_{t,j}) = f(\sum_{j=1}^q \tilde{w}_j \cdot \tilde{X}_{t,j}) \quad (12)$$

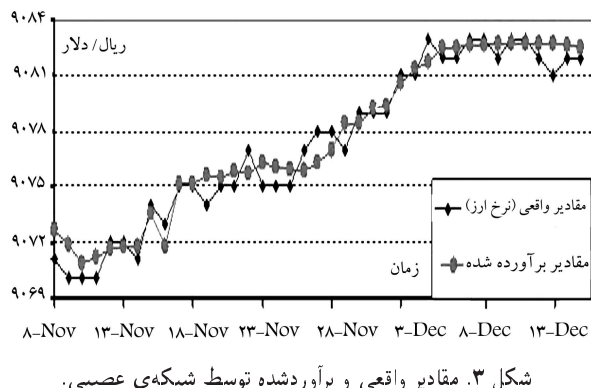
به قسمی که $\tilde{X}_{t,j} = g(\tilde{b}_{i,j} + \sum_{i=1}^p \tilde{w}_{i,j} \cdot y_{t-i})$ است. وزن‌های اتصالی مابین لایه‌ی ورودی و لایه‌ی میانی در این معادله به صورت اعداد فازی مشتملی ($\tilde{w}_{i,j} = (a_{i,j}, b_{i,j}, c_{i,j})$)^[۲۹] (رابطه‌ی ۱۳) در نظر گرفته شده است. به طوری که $\mu_{\tilde{w}}(w_{i,j})$ تابع عضویت هر مجموعه‌ی فازی است که با پارامترهای $w_{i,j}$ مشخص می‌شود. حال با استفاده از اصل گسترش،^[۳۰] تابع عضویت $\tilde{X}_{t,j} = g(\sum_{i=1}^p \tilde{w}_{i,j} \cdot y_{t-i})$ در حالت کلی در پیوست ۱ آورده شده است. با در نظر گرفتن داده‌های فازی مشتملی $w_{i,j}$ با تابع عضویتی (مطابق رابطه‌ی ۱۴) و پارامترهای فازی مشتملی j مطابق رابطه‌ی ۱۵) تابع عضویت ($\tilde{X}_{t,j} = f(\sum_{j=1}^q \tilde{w}_j \cdot \tilde{X}_{t,j})$)^[۳۱] در حالت کلی در پیوست ۲ مطابق رابطه‌ی ۱۶ خواهد بود. اثبات رابطه‌ی مزبور در حالت کلی در پیوست ۲



شکل ۱. داده‌ی روزانه‌ی نرخ ارز (دلار آمریکا در مقابل ریال ایران) از ۱۴ آبان ماه تا ۲۵ آذرماه سال ۱۳۸۴



شکل ۲. ساختار شبکه‌ی عصبی چندلایه‌ی پیشخور.



شکل ۳. مقادیر واقعی و برآورده شده توسط شبکه‌ی عصبی.

فاز ۱. با توجه به اصول طراحی شبکه‌های عصبی مصنوعی [۴۱، ۴۰] و به کارگیری نرم‌افزار MATLAB7 شبکه‌ی ایدآل، یک شبکه‌ی $N^{(3-2-1)}$ است که در شکل ۲ نشان داده شده است. وزن‌ها و بایاس‌های شبکه‌ی مذکور نیز در جدول ۱ ارائه شده است.

همچنین مقادیر واقعی و برازش شده توسط شبکه در شکل ۳ نشان داده شده است. معیارهای عملکردی شبکه‌ی مذکور نیز در جدول ۲ ارائه شده است.

فاز ۲. (تعیین ابهام کمینه): با قردادن اوزان به دست آمده $= (w_0, w_1, w_2, w_3)$ با قردادن اوزان به دست آمده $= (0, ۵۸۴۷, ۰, ۰۰۰)$ ، پارامترهای فازی مدل با استفاده از معادله‌ی ۱۷ به دست آمده $= (h = ۰)$ و نتایج حاصله در شکل ۴ آورده شده است.

$$\begin{aligned} \tilde{y}_t &= \langle 0, 5847, 0, 000 \rangle x_{1,t} + \langle 958, 3, 0, 1069 \rangle x_{2,t} \\ &\quad + \langle 0, 2781, 0, 000 \rangle x_{3,t} \end{aligned} \quad (18)$$

$$C_1 = \sum_{j=0}^q \left(d_j \cdot g \left(\sum_{i=0}^p a_{i,j} \cdot y_{t-i} \right) \right)$$

$$C_\tau = \sum_{j=0}^q \left(f_j \cdot g \left(\sum_{i=0}^p c_{i,j} \cdot y_{t-i} \right) \right),$$

$$C_\tau = \sum_{j=0}^q \left(e_j \cdot g \left(\sum_{i=0}^p b_{i,j} \cdot y_{t-i} \right) \right),$$

$$\text{Min } \sum_{t=1}^k \sum_{j=0}^q \left(f_j \cdot g \left(\sum_{i=0}^p c_{i,j} \cdot y_{t-i} \right) \right) - \left(d_j \cdot g \left(\sum_{i=0}^p a_{i,j} \cdot y_{t-i} \right) \right)$$

$$\text{Subject to} \begin{cases} \frac{-B_1}{\tau A_1} + \left[\left(\frac{B_1}{\tau A_1} \right)^{\tau} - \frac{C_1 - f^{-1}(y_t)}{A_1} \right]^{\frac{1}{\tau}} \leq h \\ \text{if } C_1 \leq f^{-1}(y_t) \leq C_\tau, \text{ for } t = 1, 2, \dots, k \\ \frac{B_\tau}{\tau A_\tau} + \left[\left(\frac{B_\tau}{\tau A_\tau} \right)^{\tau} - \frac{C_\tau - f^{-1}(y_t)}{A_\tau} \right]^{\frac{1}{\tau}} \leq h \\ \text{if } C_\tau \leq f^{-1}(y_t) \leq C_1, \text{ for } t = 1, 2, \dots, k \end{cases} \quad (17)$$

مراحل روش ترکیبی به‌طور خلاصه در سه فاز انجام می‌شود:

فاز ۱. آموزش یک مدل شبکه‌ی عصبی با استفاده از اطلاعات موجود در مشاهدات (که به صورت غیرفاریاند). نتیجه‌ی این فاز، جواب بهینه‌ی پارامترهای شبکه‌ی عصبی مصنوعی $w^* = (w_j^*, w_{i,j}^*, i = 0, 1, \dots, p, j = 0, 1, \dots, q)$ است که به عنوان یکی از مجموعه داده‌های ورودی در فاز دوم مورد استفاده قرار می‌گیرد.

فاز ۲. تعیین کمترین ابهام با استفاده از معادله‌ی ۱۷ و اوزان حاصله $.w^* = (w_j^*, w_{i,j}^*, i = 0, 1, \dots, p, j = 0, 1, \dots, q)$.

فاز ۳. با توجه به نظرات ایشیبیوچی داده‌های حد بالا و پائین مدل، وقتی که دامنه‌ی مدل ترکیبی وسیع شود، حذف خواهد شد. به منظور ساختن مدلی شامل همه‌ی شرایط ممکن، اگر مجموعه داده‌ها شامل تفاوت‌های مشخص یا موارد خارج از محدوده باشند، زیرا بسیار گسترده خواهند شد. طبق نظرات ایشیبیوچی داده‌های اطراف مرزهای بالا و پائین مدل حذف می‌شود، سپس مدل جداً فرمول‌بندی می‌شود.

۵. به کارگیری مدل ترکیبی به منظور پیش‌بینی

در این قسمت، از مدل حاصله به منظور پیش‌بینی دامنه‌ی تغییرات نرخ ارز (دلار آمریکا در مقابل ریال ایران) استفاده شده است. اطلاعات استفاده شده در این تحقیق شامل ۴۲ داده‌ی روزانه‌ی نرخ ارز (دلار آمریکا در مقابل ریال ایران) از شنبه چهاردهم آبان ماه تا جمعه بیست و پنجم آذرماه سال ۱۳۸۴، مطابق با پنجم نوامبر تا شانزدهم دسامبر سال ۵ ۲۰۰۵ است [۴۹] که در شکل ۱ نمایش داده شده است.

۱.۵ پیش‌بینی

با به کارگیری مدل ترکیبی ابتدا ۳۵ مشاهده (پنج هفته‌ی اول) به منظور آموزش شبکه و سپس ۷ مشاهده (هفته‌ی آخر) برای سنجش عملکرد مدل مورد استفاده قرار گرفته است.

جدول ۱. مقادیر مربوط به وزن‌ها و بایاس‌های شبکه.

وزن‌های لایه‌ی ورودی			وزن‌های لایه‌ی مخفی	وزن‌های لایه‌ی خروجی		بايان‌سها
$W_{i,1}^j$	$W_{i,2}^j$	$W_{i,3}^j$	Weights	b_j^1	b^2	
۳,۷۸۹	۴۲,۱۰۴۱	۱۵۵,۲۶۷	۰,۵۸۴۶۷	-۶,۵۸۳۶	-۹۸۵,۱۹۱	
۲,۳۶۵۱	-۱۱,۴۹۳۴	۱۷۱,۷۱۳۷	۹۸۵,۳۱۹۴	۱۱,۴۴۸۵		
۴,۵۲۲۶	-۲۶,۰۸۷۶	۱۵۸,۰۹۰۲	۰,۲۷۸۰۸	-۲۷,۱۲۹۱		

جدول ۲. معیارهای عملکرد شبکه‌ی عصبی در پیش‌بینی نرخ ارز.

آموزش		تست					
MSE	MAE	MSE	SSE	RMSE	ME	MAPE	MAE
۰,۹۳۲	۰,۸۲۵	۰,۶۸۶	۴,۸۰۲	۰,۸۲۸	-۰,۵۳۹	۰,۰۰۸	۰,۶۹۲

جدول ۳. حدود بالا و پایین و مقادیر اصلی داده‌های آزمون.

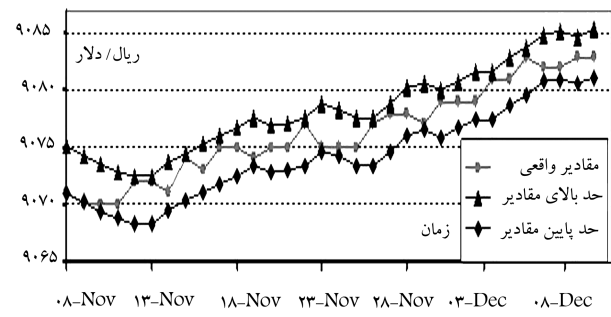
تاریخ	مقادیر واقعی	بعد از حذف	قبل از حذف	حد بالای مقادیر
شنبه ۱۹-آذر	۹۰۸۲	۹۰۸۱	۹۰۸۱	۹۰۸۴
یکشنبه ۲۰-آذر	۹۰۸۳	۹۰۸۲	۹۰۸۱	۹۰۸۴
دوشنبه ۲۱-آذر	۹۰۸۳	۹۰۸۲	۹۰۸۱	۹۰۸۴
سه شنبه ۲۲-آذر	۹۰۸۲	۹۰۸۱	۸۰۹۱	۹۰۸۴
چهارشنبه ۲۳-آذر	۹۰۸۱	۹۰۸۱	۹۰۸۱	۹۰۸۴
پنجشنبه ۲۴-آذر	۹۰۸۲	۹۰۸۱	۹۰۸۱	۹۰۸۴
جمعه ۲۵-آذر	۹۰۸۲	۹۰۸۱	۹۰۸۱	۹۰۸۴

نتایج مقادیر پیش بینی شده در جدول ۳ آورده شده است. این
که قابل ذکر است که داده های مربوط به حد بالا و پایین مقادیر در جدول گرد
شده اند. چنان که مشاهده می شود، نتایج حاصله و فواصل فازی نسبت به مدل
قابلی مطابق بر است.

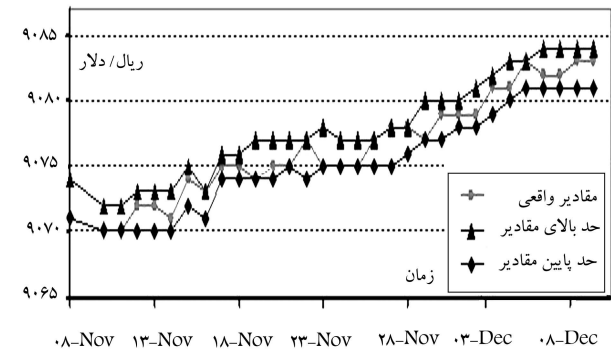
۲. مقاسه نا ساز روش های مشاهه

در این قسمت به منظور نشان دادن برتری و کارایی مدل پیشنهادی در مقایل با سایر روش‌ها در پیش‌بینی سری‌های زمانی در شرایط داده‌های قابل حصول کم، مدل پیشنهادی در پیش‌بینی نیچ ارز (دلاز آمریکا در مقابل ریال ایران) با سایر مدل‌ها مقایسه شده است.

این مدل‌ها متشکل اند از شبکه‌های عصبی چندلایه‌ی پیشخور، مدل‌های خودرگرسیون میانگین متحرک انباشته و مدل‌های ترکیبی میانگین متحرک خودرگرسیون انباشته‌ی فازی. از مقابله‌ی طول بازه پیش‌بینی شده توسط روش ترکیبی پیشنهادی میانگین قدر مطلق خطای شبکه‌ی چندلایه‌ی پیشخور با فرض توزیع یکنواخت مقادیر واقعی در اطراف نایاب برآورد شده و فضای پیش‌بینی، تابع حاصله بیانگر برتری روش ترکیبی بر شبکه‌های عصبی مصنوعی است. گفتنی است طول بازه



شکل ۴. مقادیر واقعی و حد بالا و پایین آنها (قبل از حذف).



شكل 5. مقادير واقعی و حد بالا و پایین آنها (بعد از حذف).

چنان که در شکل ۴ مشاهده می‌شود مقادیر واقعی در فواصل فازی قرار گرفته‌اند، اما طول فواصل فازی وسیع شده و مدل ترکیبی فواصل مناسبی را راهه نمی‌دهد. فاز ۳. از نتایج فوق مشخص می‌شود که مشاهده می‌مر بوط به هجدمه آذرباه (نهم نوامبر) در مرز پایینی قرار گرفته است، بنابراین محدودیت خطی که توسعه این مشاهده تولید شده، حذف و سپس فاز دوم مجددًا تکرار می‌شود ($h = 0$). بنایه به دست آمده د، شکل ۵، آورده شده است.

$$\begin{aligned}\tilde{y}_t &= \langle \circ, \textcircled{A} \textcircled{A} \textcircled{V} \textcircled{V}, \circ, \textcircled{O} \textcircled{O} \textcircled{O} \rangle x_{1,t} + \langle \textcircled{A} \textcircled{A} \textcircled{A}, \textcircled{V}, \circ, \textcircled{O} \textcircled{O} \textcircled{O} \rangle x_{2,t} \\ &\quad + \langle \circ, \textcircled{V} \textcircled{V} \textcircled{A} \textcircled{A}, \circ, \textcircled{O} \textcircled{O} \textcircled{O} \rangle x_{3,t}\end{aligned}\quad (19)$$

در انتها نیز با استفاده از مدل ترکیبی، بازنمایی شده مقادیر آتی، متغیر و استنده

۶. نتیجه‌گیری

تغییرات تکنولوژیکی و جهانی شدن تجارت و بازارهای مالی باعث شده تا توانایی پیش‌بینی دقیق تر و سریع‌تر الگوهای موجود در حفظ توان رقابتی اهمیت بیشتری پیدا کند. اما تغییرات سریع این‌گونه محیط‌های ناشناخته، بهویزه بازارهای مالی، پیش‌بینی‌کنندگان را از نظر تأمین داده‌های لازم به‌منظور حصول نتایج مطلوب دچار مشکل کرده است. در این نوشتار براساس اصول و مقاومیت‌بایه‌بی شبکه‌های عصبی مصنوعی و رگرسیون فازی، مدلی از ترکیب دو روش مزبور به‌منظور پیش‌بینی سری‌های زمانی پیشنهاد شده است. مدل پیشنهادی با فازی در نظر گرفتن پارامترهای شبکه‌ی چندلایه‌ی پیشخور، داده‌های مورد نیاز برای کسب نتایج مطلوب را کاهش داده است. نتایج به دست آمده بیانگر آن است که مدل ترکیبی نه تنها توانایی انجام پیش‌بینی مناسب را دارد بلکه برای تصمیم‌گیرندگان بهترین و بدترین حالت ممکن را نیز فراهم می‌سازد. مدل پیشنهادی همچنین در شرایط برابر عملکرد بهتری نسبت به شبکه‌های چندلایه‌ی پیشخور و روش ترکیبی میانگین متحرک خودرگرسیون انباسته‌ی فازی داشته است.

پیش‌بینی شده توسط روش ترکیبی ۲/۷۸ ریال است در حالی که میانگین قدر مطلق خطای شبکه برابر با ۷۶۴،۰ ریال است.

روش ترکیبی نسبت به مدل‌های میانگین متحرک خودرگرسیون انباسته و همچنین روش ترکیبی فازی آن نیز نتایج مطلوب‌تری در پیش‌بینی نجف از ارائه کرده است. مدل‌های ترکیبی میانگین متحرک خودرگرسیون انباسته‌ی فازی، حالت فازی شده‌ی این‌گونه از مدل‌ها هستند.^[۳۹] طول ۹۵٪ اطمینان به دست آمده از مدل میانگین متحرک خودرگرسیون انباسته، ۱۶،۲ ریال، و طول بازه حاصل از روش ترکیبی میانگین متحرک خودرگرسیون انباسته‌ی فازی ۴،۰۵ ریال^[۳۹] است، در صورتی که طول بازه پیش‌بینی شده توسط روش ترکیبی ۲/۷۸ ریال است و این خود به‌ترتیب بیانگر پیش‌بینی از ۸۳٪ و ۳۱٪ بهبود در دقت نتایج نسبت به این دو مدل است. مرباید

روش ترکیبی را می‌توان چنین خلاصه کرد:

۱. رفع مسئله‌ی کمبود داده‌ها؛
۲. ارائه‌ی بهترین و بدترین حالات ممکن؛
۳. دست‌یابی به نتایج دقیق‌تر.

منابع (References)

1. Khashei, M. "Forecasting and analysis of Esfahan steel company productions price in Tehran metals exchange using artificial neural networks", Master of Science Thesis, Isfahan University of Technology (2005).
2. Zhang, G., Patuwo, B.E. and Hu, M.Y. "Forecasting with artificial neural networks: The state of the art", *Neurocomputing*, **56**, pp. 205-232 (2004).
3. Nam, K. and Schaefer, T. "Forecasting international airline passenger traffic using neural networks", *Logistics and Transportation*, **31**(3), pp. 239-251 (1995).
4. Kang, S. "An investigation of the use of feedforward neural networks for forecasting", Ph.D. Thesis, Kent State University (1991).
5. Tanaka, H. "Fuzzy data analysis by possibility linear models", *Fuzzy Sets and Systems*, **24**(3), pp. 363-375 (1987).
6. Tanaka, H. and Ishibuchi, H., *Possibility Regression Analysis Based On Linear Programming*, in: J. Kacprzyk, M. Fedrizzi (Eds.), *Fuzzy Regression Analysis*, Omnitech Press, Warsaw and Physica-Verlag, Heidelberg, pp. 47-60 1992.
7. Song, Q. and Chissom, B.S. "Forecasting enrollments with fuzzytime series -part I", *Fuzzy Sets and Systems*, **54**(1), pp. 1-9 (1993).
8. Chen, S.M. "Forecasting enrollments based on fuzzy time series", *Fuzzy Sets and Systems*, **81**(3), pp. 311-31 (1996).
9. Reid, M.J. "Combining three estimates of gross domestic product", *Economica*, **35**, pp. 431-444 (1968).
10. Bates, J.M.C. and Granger, W.J. "The combination of forecasts", *Oper. Res. Q.*, **20**, pp. 451-468 (1969).
11. Clemen, R., "Combining forecasts: A review and annotated bibliography with discussion", *Int. J. Forecasting*, **5**, pp. 559-608 (1989).
12. Khashei, M. and Bijari, M. "Combination of linear and nonlinear autoregressive integrated moving average and artificial neural networks for improving financial fore-

- casts performance”, *Economic Research Journal*, Tarbiat Modares University, **8**(2), pp. 82-100 (2008).
13. Cadenas, E. and Rivera, W. “Wind speed forecasting in three different regions of Mexico, using a hybrid ARIMA-ANN model”, *Renewable Energy*, **35**, pp. 2732-2738 (2010).
 14. Cheng, M., Tsai, H. and Sudjono, E. “Evolutionary fuzzy hybrid neural network for project cash flow control”, *Engineering Applications of Artificial Intelligence*, **23**, pp. 604-613 (2010).
 15. Zhang, G.P. “Time series forecasting using a hybrid ARIMA and neural network model”, *Neurocomputing*, **50**, pp. 159-175 (2003).
 16. Khashei, M. and Bijari, M. “An artificial neural network (p,d,q) model for time series forecasting”, *Expert Systems with Applications*, **37**, pp. 479-489 (2010).
 17. Pai, P. and Lin, C. “A hybrid ARIMA and support vector machines model in stock price forecasting”, *Omega*, **33**, pp. 497-505 (2005).
 18. Tseng, F., Yu, H. and Tzeng, G. “Combining neural network model with seasonal time series ARIMA model”, *Technological Forecasting & Social Change*, **69**, pp. 71-87 (2002).
 19. Ginzburg, I. and Horn, D. “Combined neural networks for time series analysis”, *Adv. Neural Inf. Process. Systems*, **6**, pp. 224-231 (1994).
 20. Chen, K. and Wang, C. “A hybrid SARIMA and support vector machines in forecasting the production values of the machinery industry in Taiwan”, *Expert Systems with Applications*, **32**, pp. 254-264 (2007).
 21. Armano, G., Marchesi, M. and Murru, A. “A hybrid genetic-neural architecture for stock indexes forecasting”, *Information Sciences*, **170**, pp. 3-33 (2005).
 22. Kim, H. and Shin, K. “A hybrid approach based on neural networks and genetic algorithms for detecting temporal patterns in stock markets”, *Applied Soft Computing*, **7**, pp. 569-576 (2007).
 23. Yu, L., Wang, S. and Lai, K. “A novel nonlinear ensemble forecasting model incorporating GLAR and ANN for foreign exchange rates”, *Computers and Operations Research*, **32**, pp. 2523-2541 (2005).
 24. Khashei, M., Bijari, M. and Raissi, G.H.A. “Improving the hybrid ANN/ ARIMA models with probabilistic neural networks (PNNs) for time series forecasting”, *Industrial Journal*, **44**(2), pp. 181-193 (2010).
 25. Amin-Naseri, M.R. and Soroush, A.R. “Combined use of unsupervised and supervised learning for daily peak load forecasting”, *Energy Conversion and Management*, **49**, pp. 1302-1308 (2008).
 26. Aladag, C., Egrioglu, E. and Kadilar, C. “Forecasting nonlinear time series with a hybrid methodology”, *Applied Mathematics Letters*, **22**, pp. 1467-1470 (2009).
 27. Shafie-khah, M., Parsa Moghaddam, M. and Sheikh-Eslami, M.K. “Price forecasting of day-ahead electricity markets using a hybrid forecast method”, *Energy Conversion and Management*, **52**, pp. 2165-2169 (2011).
 28. Chang, P., Liu, C. and Wang, Y. “A hybrid model by clustering and evolving fuzzy rules for sales decision supports in printed circuit board industry”, *Decision Support Systems*, **42**, pp. 1254-1269 (2006).
 29. Lin, Y. and Cobourn, W.G. “Fuzzy system models combined with nonlinear regression for daily ground-level ozone predictions”, *Atmospheric Environment*, **41**, pp. 3502-3513 (2007).
 30. Khashei, M., Bijari, M. and Raissi, G.A. “Improvement of auto-regressive integrated moving average models using fuzzy logic and artificial neural networks”, *Neurocomputing*, **72**, pp. 956-967 (2009).
 31. Wong, B.K., Vincent S.L. and Jolie, L. “A bibliography of neural network business applications research: 1994-1998”, *Computers & Operations Research*, **27**, pp. 1023-1044 (2000).
 32. Zhang, G.P., Patuwo, E.B. and Hu, M.Y., “A simulation study of artificial neural networks for nonlinear time-series forecasting”, *Comput. Oper. Res.*, **28**, pp. 381-396 (2001).
 33. Demuth, H. and Beale, B., *Neural Network Toolbox User Guide*, The Mathworks Inc, Natick (2004).
 34. Fildes, R. and Makridakis, S. “The impact of empirical accuracy studies on time series analysis and forecasting”, *Int. Statist. Rev.*, **63**, pp. 289-308 (1995).
 35. Dubois, D. and Prade, H., *Theory and Applications, Fuzzy Sets and Systems*, Academic Press, New York (1980).
 36. Ishibuchi, H. and Tanaka, H. “Interval regression analysis based on mixed 0-1 integer programming problem”, *J. Japan Soc. Ind. Eng.*, **40**(5), pp. 312-319 (1988).
 37. Khashei, M., Hejazi, S.R. and Bijari, M. “A new hybrid artificial neural networks and fuzzy regression model for time series forecasting”, *Fuzzy Set and Systems*, **159**, pp. 769-786 (2008).
 38. Zadeh, L.A., *The Concept of a Linguistic Variable and Its Application to Approximate Reasoning*, Part 1, 2 and 3, *Information Sciences* 8, pp. 43-80 (1976).
 39. Khashei, M. and Bijari, M. “Foreign exchange rate forecasting using a hybrid fuzzy and auto regressive integrated moving average model”, *Esteghlal Journal*, Isfahan University of Technology, pp. 67-75 (2008).
 40. Khashei, M. and Bijari, M. “Using artificial neural networks (ANNs) to forecast and analysis of esfahan steel company (ESC) productions price in Tehran metals exchange (part I)”, *Steel Journal*, **133**, pp. 28-31 (2006).
 41. Khashei, M. and Bijari, M. “Using artificial neural networks (ANNs) to forecast and analysis of Esfahan steel company (ESC) productions price in Tehran metals exchange (part II)”, *Steel Journal*, **134**, pp. 28-31 (2006).
 42. Hong, D.H. and Yi, H.C. “A note on fuzzy regression model with fuzzy input and output data for manpower forecasting”, *Fuzzy Sets and Systems*, **138**, pp. 301-305 (2003).
 43. Lee, H.T. and Chen, H. “Fuzzy regression model with fuzzy input and output data for manpower forecasting”, *Fuzzy Sets and Systems*, **119**, pp. 205-213 (2001).

$a_i, d_i \geq \tilde{Y} = \tilde{\beta}_1 \cdot \tilde{x}_1 + \tilde{\beta}_2 \cdot \tilde{x}_2 + \dots + \tilde{\beta}_n \cdot \tilde{x}_n$ در حالت کلی، به شرط آنکه \tilde{Y} مطابق زیر خواهد بود:

$$\mu_{\tilde{Y}}(y_t) \cong \begin{cases} \frac{-B_1}{rA_1} + \left[\left(\frac{B_1}{rA_1} \right)^r - \frac{C_1 - f^{-1}(y_t)}{A_1} \right]^{1/r} & \text{if } C_1 \leq f^{-1}(y_t) \leq C_r, \\ \frac{B_r}{rA_r} + \left[\left(\frac{B_r}{rA_r} \right)^r - \frac{C_r - f^{-1}(y_t)}{A_r} \right]^{1/r} & \text{if } C_r \leq f^{-1}(y_t) \leq C_1, \\ 0 & \text{otherwise,} \end{cases} \quad (21)$$

$$\begin{aligned} A_1 &= \sum_{i=1}^n (b_i - a_i)(e_i - d_i), \\ B_1 &= \sum_{i=1}^n (a_i(e_i - d_i) + d_i(b_i - a_i)), \\ A_r &= \sum_{i=1}^n (c_i - b_i)(f_i - e_i), \\ B_r &= \sum_{i=1}^n (c_i(f_i - e_i) + f_i(c_i - b_i)), \\ C_1 &= \sum_{i=1}^n (a_i d_i), \quad C_r = \sum_{i=1}^n (c_i f_i), \\ C_2 &= \sum_{i=1}^n (b_i e_i), \end{aligned}$$

اثبات: با توجه به توابع عضویت پارامترهای فازی $\tilde{\beta}_i$ و داده‌های فازی مثلثی \tilde{X}_i ، مجموعه‌های برش $-\alpha$ این دو عدد فازی به ترتیب عبارت‌اند از: $\tilde{X}_i^\alpha = [d_i + \alpha(e_i - d_i), f_i + \alpha(e_i - f_i)]$. با درنظر گرفتن اصل گسترش حاصل ضرب دو بازه برش $-\alpha$ ، یک بازه برش $-\alpha$ خواهد بود، لذا خواهیم داشت:

$$\begin{aligned} \tilde{Z}_i^\alpha &= \tilde{\beta}_i^\alpha \cdot \tilde{X}_i^\alpha = [a_i + \alpha(b_i - a_i)] \times [d_i + \alpha(e_i - d_i)], \\ &\quad [c_i + \alpha(b_i - c_i)] \times [f_i + \alpha(e_i - f_i)] \end{aligned}$$

حال با توجه به رابطه‌ی فوق تابع عضویت \tilde{Z}_i^α به آسانی قابل محاسبه است.

۱. تابع عضویت ($\tilde{Y} = f(\tilde{\beta}_1 \cdot x_1 + \tilde{\beta}_2 \cdot x_2 + \dots + \tilde{\beta}_n \cdot x_n)$) با فرض پارامترهای فازی (a_i, b_i, c_i) با تابع عضویت مشابه رابطه‌ی ۱۵ تابع عضویت ($\tilde{Y} = f(\tilde{\beta}_1 \cdot x_1 + \tilde{\beta}_2 \cdot x_2 + \dots + \tilde{\beta}_n \cdot x_n)$) در حالت کلی مطابق زیر خواهد بود.

$$\mu_{\tilde{Y}}(y) = \begin{cases} \frac{1}{f(\sum_{i=1}^n b_i \cdot x_i) - f(\sum_{i=1}^n a_i \cdot x_i)} \left(y - f(\sum_{i=1}^n a_i \cdot x_i) \right) & \text{if } f(\sum_{i=1}^n a_i \cdot x_i) \leq y \leq f(\sum_{i=1}^n b_i \cdot x_i), \\ \frac{1}{f(\sum_{i=1}^n b_i \cdot x_i) - f(\sum_{i=1}^n c_i \cdot x_i)} \left(y - f(\sum_{i=1}^n c_i \cdot x_i) \right) & \text{if } f(\sum_{i=1}^n c_i \cdot x_i) \leq y \leq f(\sum_{i=1}^n b_i \cdot x_i), \\ 0 & \text{otherwise} \end{cases} \quad (20)$$

اثبات: با استفاده از اصل گسترش مجموعه‌های فازی و تعریف اعداد فازی مثلثی، حاصل ضرب یک عدد فازی مثلثی در یک عدد حقیقی مثبت، مجموع چند عدد فازی مثلثی و $f(\cdot)$ یک عدد فازی مثلثی، یک عدد فازی مثلثی خواهد بود. به عنوان مثال اگر $\tilde{A} = (a, b, c)$ و x یک عدد فازی مثلثی و y یک عدد حقیقی مثبت باشد، آنگاه $\tilde{A} \cdot x = (ax, bx, cx)$ اگر $\tilde{A} = (a, b, c)$ و $\tilde{A} \cdot x = (d, e, f)$ دو عدد فازی مثلثی باشند آنگاه $\tilde{A} + \tilde{B} = (a+d, b+e, c+f)$ خواهد بود و بهمین ترتیب برای تابع حقیقی و یک به یک خواهیم داشت: $f(\tilde{A}) = (f(a), f(b), f(c))$. بنابراین، با توجه به موارد یادشده و ترکیب آنها خواهیم داشت: $\tilde{Y} = (f(\sum_{i=1}^n a_i), f(\sum_{i=1}^n b_i), f(\sum_{i=1}^n c_i))$ که تابع عضویت \tilde{Y} یک عدد مثلثی مطابق فوق خواهد بود.

۲. تابع عضویت ($\tilde{Y} = \tilde{\beta}_1 \cdot \tilde{x}_1 + \tilde{\beta}_2 \cdot \tilde{x}_2 + \dots + \tilde{\beta}_n \cdot \tilde{x}_n$)

با فرض پارامترهای فازی $\tilde{\beta}_i = (a_i, b_i, c_i)$ و داده‌های فازی مثلثی $\tilde{X}_i = (d_i, e_i, f_i)$ با تابع عضویت مشابه رابطه‌ی ۱۵ تابع عضویت

IMPROVEMENT OF ARTIFICIAL NEURAL NETWORK PERFORMANCE USING FUZZY LOGIC FOR EXCHANGE RATE FORECASTING

M. Khashei(corresponding author)

khashei@in.iut.ac.ir

M. Bijari

bijari@cc.iut.ac.ir

F. Mokhatab Rafiei

farimah@cc.iut.ac.ir

**Dept. of Industrial Engineering
Isfahan University of Technology**

Sharif Industrial Engineering and Management Journal
Volume 29, Issue 2, Page 63-71, Original Article

© Sharif University of Technology

- Received 3 April 2011; received in revised form 8 August 2011;
accepted 17 April 2012.

Abstract

Time series forecasting is an active research area that has drawn considerable attention for applications in a variety of areas. With the time series approach to forecasting, historical observations of the same variable are analyzed to develop a model describing the underlying relationship. Then, the established model is used in order to extrapolate the time series into the future. Improving forecasting, especially accurate time series forecasting, is an important yet often difficult task facing decision makers in many areas. Computational intelligence approaches, such as artificial neural networks (ANNs) and fuzzy logic, have gradually established themselves as popular tools for forecasting complicated financial markets. Fuzzy is one of the most important soft computing tools, which can provide a powerful framework in order to cope with vague or ambiguous problems, and can express linguistic values and human subjective judgments of natural language.

Artificial neural networks are flexible computing frameworks and universal approximators that can be applied to a wide range of forecasting problems with a high de-

gree of accuracy. The major advantage of neural networks is their flexible nonlinear modeling capability. With ANNs, there is no need to specify a particular model form. Rather, the model is adaptively formed based on the features presented in the data. This data-driven approach is suitable for many empirical data sets, where no theoretical guidance is available to suggest an appropriate data generating process. Despite the advantages cited for them, ANNs have weaknesses, one of the most important of which is their requirement of large amounts of data in order to yield accurate results. Both theoretical and empirical findings have indicated that integration of different models can be an effective way of improving upon their predictive performance and also overcoming the limitations of single models, especially when the models in combination are quite different.

In this paper, a new hybrid model of artificial neural networks is proposed based on the basic concepts of fuzzy logic, in order to overcome the data restriction of neural networks and yield more accurate results than traditional ANNs in situations of short time spans. In the proposed model, instead of using crisp parameters in each layer, fuzzy parameters in the form of triangular fuzzy numbers are applied for related parameters of these layers. In this way, the proposed model can search the feasible spaces easily and more efficiently for finding the optimum values of parameters. The empirical results of exchange rate forecasting indicate that the hybrid model is more satisfactory than its components, i.e, artificial neural networks and fuzzy regression models.

Key Words: Artificial neural networks (anns), fuzzy regression, time series forecasting, combined forecasts, exchange rate.